



# Solitony

Symulacje komputerowe

**Piotr Szewerniak, Paula Chajduła  
Kamil Oratowski, Marcin Caputa**



# Adwekcja, wstrząsy i soliton Russela

Adwekcja – w mechanice płynów i hydrodynamice podziemnej unoszenie substancji przez przepływający płyn w ten sposób, że prędkość unoszonej substancji równa jest prędkości przepływającego płynu. Soliton - samopodtrzymująca się odosobniona fala wywołana przez efekty nieliniowe występujące w materiale, w którym fala ta się rozchodzi. Lub rozwiązanie układu nieliniowych równań różniczkowych, które:

- reprezentuje fale o niezmiennym kształcie;
- jest zlokalizowane tak, że zanika lub osiąga stałą wartość w nieskończoności;
- może oddziaływać silnie z innymi solitonami, ale po kolizji zachowuje niezmienną formę – występuje tylko przesunięcie fazy.



# Adwekcja, wstrząsy i soliton Russela

Russel postanowił wytworzyć takie fale w swoim laboratorium po czym doszedł do równania opisującego prędkość fali:

$$c^2 = g(h+A)$$

gdzie  $g$  to przyspieszenie ziemskie,  $h$  to głębokość a  $A$  to amplituda fali. Z tego wynika, że fale z większą amplitudą poruszają się szybciej niż te z małą.



# Ciągłość i równania adwekcji

Ruch płynu opisany jest przy pomocy równania Naviera-Stokesa

$$\frac{\partial \rho(\mathbf{x}, t)}{\partial t} + \vec{\nabla} \cdot \mathbf{j} = 0, \quad \mathbf{j} \stackrel{\text{def}}{=} \rho \mathbf{v}(\mathbf{x}, t).$$

Ale dla przypadku jednowymiarowego otrzymujemy:

$$\frac{\partial \rho}{\partial t} + c \frac{\partial \rho}{\partial x} = 0.$$

Takie wyrażenie nazywamy równaniem adwekcji - czyli np. przypadku gdy tratwa na wodzie ma taką samą prędkość jak sam nurt.



# Opis fal uderzeniowych przy pomocy równania Burgera

Równanie Burgera ma postać:

$$\frac{\partial u}{\partial t} + \epsilon u \frac{\partial u}{\partial x} = 0,$$

$$\frac{\partial u}{\partial t} + \epsilon \frac{\partial(u^2/2)}{\partial x} = 0,$$

Z czego druga postać równania jest "postacią konserwatywną" tj. jest wariacją na temat równania adwekcji Russela, w którym prędkość fali jest proporcjonalna do jej amplitudy.



# Opis fal uderzeniowych przy pomocy równania Burgera

Równanie Burgera ma postać:

$$\frac{\partial u}{\partial t} + \epsilon u \frac{\partial u}{\partial x} = 0,$$

$$\frac{\partial u}{\partial t} + \epsilon \frac{\partial(u^2/2)}{\partial x} = 0,$$

Z czego druga postać równania jest "postacią konserwatywną" tj. jest wariacją na temat równania adwekcji Russela, w którym prędkość fali jest proporcjonalna do jej amplitudy.



# Jak wziąć pod uwagę dyspersję?

Rozpraszanie się nie powoduje utraty energii fali ale powoduje zanik informacji o niej wraz z upływem czasu.

Założmy falę, którą opisuje równanie:

$$u(x, t) = e^{\pm i(kx - \omega t)}$$

Biorąc pod uwagę fakt, że fala rozchodzi się "w prawo" czyli  $kx - \omega t$  nie zmienia się wraz ze zwiększeniem się  $x$  w czasie. Po podstawieniu tej funkcji do równania adwekcji otrzymamy:

$$\omega = ck.$$



# Jak wziąć pod uwagę dyspersję?

Jest to przykład relacji dyspersji - zależność częstotliwość fali  $\omega$  i wektora falowego  $k$ . Prędkość grupowa wyraża się wzorem:

$$v_g = \frac{\partial \omega}{\partial k},$$

relacja dyspersji prowadzi do tego, że dla każdej częstotliwości mamy taką samą prędkość grupową.

Założmy, że fala rozchodzi się z małą dyspersją czyli z częstotliwością, która ma mniejszą niż liniową zależność od wektora falowego  $k$

$$\omega \simeq ck - \beta k^3.$$





# Jak wziąć pod uwagę dyspersję?

Z tego wszystkiego dochodzimy do wniosku, że możemy zapisać zależność:

$$v_g = \frac{d\omega}{dk} \simeq c - 3\beta k^2,$$
$$\frac{\partial u(x, t)}{\partial t} + c \frac{\partial u(x, t)}{\partial x} + \beta \frac{\partial^3 u(x, t)}{\partial x^3} = 0.$$



# Solitony na mieliźnie i równanie KdeV

Chcemy zrozumieć dziwne zachowanie fal wodnych, które mają miejsce na mieliźnie czy wąskich kanałach. Analityczny opis takich spiętrzeń wody zostało wprowadzone przez Korteweg'a i deVries'a:

$$\frac{\partial u(x, t)}{\partial t} + \varepsilon u(x, t) \frac{\partial u(x, t)}{\partial x} + \mu \frac{\partial^3 u(x, t)}{\partial x^3} = 0.$$

Nasz wyraz środkowy wyraz prowadzi do zaostrenia się fali a w rezultacie do fali uderzeniowej.



# Analityczne rozwiązanie solitonu

Zwykle rozwiązujemy takie równania poprzez wstawienie odgadniętej formy rozwiązania:

$$u(x, t) = u(\xi = x - ct).$$

Takie wyrażenie oznacza, że jeśli będziemy poruszać się ze stałą prędkością  $c$ , zauważymy stałą postać fali. Podstawienie do równania KdV daje nam rozwiązywalne równanie różniczkowe zwyczajne:

$$-c \frac{\partial u}{\partial \xi} + \epsilon u \frac{\partial u}{\partial \xi} + \mu \frac{d^3 u}{d\xi^3} = 0,$$

$$u(x, t) = \frac{-c}{2} \operatorname{sech}^2 \left[ \frac{1}{2} \sqrt{c}(x - ct - \xi_0) \right],$$

gdzie  $\xi$  jest fazą początkową. Zauważamy, że amplituda jest proporcjonalna do prędkości - jest to typowa forma analityczna solitonu.



# Implementacja rozwiązania solitonu KdeV

Zaczynamy od:

$$u(x, t = 0) = \frac{1}{2} \left[ 1 - \tanh \left( \frac{x - 25}{5} \right) \right],$$

z parametrami:  $\epsilon = 0.2$ ,  $\mu = 0.1$ ,  $\Delta x = 0.4$ ,  $\Delta t = 0.1$



# Implementacja rozwiązania solitonu KdV

```
1 import matplotlib.pyplot as p
2 from mpl_toolkits.mplot3d import Axes3D
3 import numpy as np
4
5 ds = 0.4
6 dt = 0.1
7 max = 2000
8 mu = 0.1
9 eps = 0.2
10 mx = 131
11 u = np.zeros((mx,3), float)
12 spl = np.zeros((max, 21), float)
13 m = 1
14
15 for i in range(0, 131):
16     u[i, 0] = 0.5 * ( 1 - ( ( np.exp( 2 * (0.2 * ds * i - 5. ) ) - 1 ) / (np.exp ( 2 * ( 0.2 * ds * i - 5. ) ) + 1 ) ) )
17 u[0, 1] = 1.
18 u[0, 2] = 1.
19 u[130, 1] = 0.
20 u[130, 2] = 0.
21
22 for i in range (0, 131, 2):
23     spl[i, 0]
24 fac = mu * dt / (ds ** 3)
25
26 for i in range (1, mx - 1):
27     a1 = eps * dt * ( u[i + 1, 0] + u[i, 0] + u[i-1, 0] ) / ( ds*6. )
28     if i > 1 and i < 129:
29         a2 = u[i + 2, 0] + 2. * u[i - 1, 0] - 2. * u[i + 1, 0] - u[i - 2, 0]
30     else:
31         a2 = u[i - 1, 0] - u[i + 1, 0]
32     a3 = u[i + 1, 0] - u[i - 1, 0]
33     u[i, 1] = u[i, 0] - a1 * a3 - fac * a2 / 3.
```

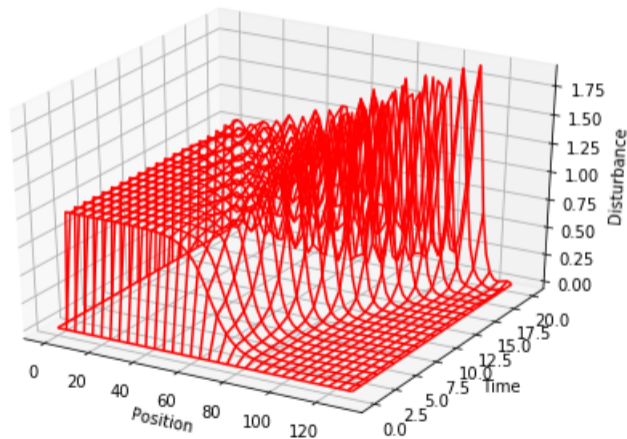


# Implementacja rozwiązania solitonu KdeV

```
34
35 for j in range (1, max + 1):
36     for i in range(1, mx - 2):
37         a1 = eps * dt * ( u[i + 1, 1] + u[i, 1] + u[i - 1, 1] ) / (3. * ds )
38         if i > 1 and i < mx -2:
39             a2 = u[i + 2, 1] + 2. * u[i - 1, 1] - 2. * u[i + 1, 1] - u[i-2, 1]
40         else:
41             a2 = u[i - 1, 1] - u[i + 1, 1]
42             a3 = u[i + 1, 1] - u[i - 1, 1]
43             u[i, 2] = u[i, 0] - a1 * a3 - 2. * fac * a2 / 3.
44         if j%100 == 0:
45             for i in range (1, mx - 2):
46                 spl[i, m] = u[i, 2]
47             m = m + 1
48         for k in range(0, mx):
49             u[k, 0] = u[k, 1]
50             u[k, 1] = u[k, 2]
51
52
53 x = list(range(0, mx, 2))
54 y = list(range(0, 21))
55 X, Y = p.meshgrid(x, y)
56 fig = p.figure()
57 ax = Axes3D(fig)
58 ax.plot_wireframe(X, Y, spl[X,Y], color = 'r')
59 ax.set_xlabel('Position')
60 ax.set_ylabel('Time')
61 ax.set_zlabel('Disturbance')
62 p.show()
```



# Implementacja rozwiązania solitonu KdeV



# Hydrodynamika, równanie Naviera-Stokesa

Podstawowym równaniem hydrodynamiki jest równanie ciągłości:

$$\frac{\partial \rho(\mathbf{x}, t)}{\partial t} + \vec{\nabla} \cdot \mathbf{j} = 0, \quad \mathbf{j} \stackrel{\text{def}}{=} \rho \mathbf{v}(\mathbf{x}, t).$$

Wprowadźmy napierw specjalną pochodną czasową "hydrodynamiczną pochodną"  $Dv/Dt$ , która daje nam obraz jak zmienia się prędkość materiału w elemencie cieczy a także bierze pod uwagę zmiany pochodzące od ruchu cieczy a także wyraźną zależność prędkości od czasu

$$\frac{D\mathbf{v}}{Dt} \stackrel{\text{def}}{=} (\mathbf{v} \cdot \vec{\nabla})\mathbf{v} + \frac{\partial \mathbf{v}}{\partial t}.$$





# Hydrodynamika, równanie Naviera-Stokesa

$$\frac{D\mathbf{v}}{Dt} = \nu \nabla^2 \mathbf{v} - \frac{1}{\rho} \vec{\nabla} P(\rho, T, x),$$

$$\frac{\partial v_x}{\partial t} + \sum_{j=x}^z v_j \frac{\partial v_x}{\partial x_j} = \nu \sum_{j=x}^z \frac{\partial^2 v_x}{\partial x_j^2} - \frac{1}{\rho} \frac{\partial P}{\partial x},$$

$$\frac{\partial v_y}{\partial t} + \sum_{j=x}^z v_j \frac{\partial v_y}{\partial x_j} = \nu \sum_{j=x}^z \frac{\partial^2 v_y}{\partial x_j^2} - \frac{1}{\rho} \frac{\partial P}{\partial y},$$

$$\frac{\partial v_z}{\partial t} + \sum_{j=x}^z v_j \frac{\partial v_z}{\partial x_j} = \nu \sum_{j=x}^z \frac{\partial^2 v_z}{\partial x_j^2} - \frac{1}{\rho} \frac{\partial P}{\partial z}.$$

gdzie  $\nu$  jest lepkością kinematyczną, ciśnieniem. Równania te opisują transfer pędu ciecży w niektórych miejscach przestrzeni co jest spowodowane siłami i



# Hydrodynamika, równanie Naviera-Stokesa

Zajmujemy się przepływem ustalonym wokół obiektu, więc wszystkie pochodne po czasie prędkości znikają. Ponadto przyjmujemy, że ciecz jest nieściśliwa więc pochodna z gęstości również zanika. Tak więc:

$$\vec{\nabla} \cdot \mathbf{v} \equiv \sum_i \frac{\partial v_i}{\partial x_i} = 0,$$

$$(\mathbf{v} \cdot \vec{\nabla})\mathbf{v} = \nu \nabla^2 \mathbf{v} - \frac{1}{\rho} \vec{\nabla} P.$$



# Hydrodynamika, równanie Naviera-Stokesa

Pierwsze równanie opisuje równość ilości cieczy wpływającej i wypływającej. Ignorujemy zależność prędkości od składowej Z. Nasze równania mają postać:

$$\frac{\partial v_x}{\partial x} + \frac{\partial v_y}{\partial y} = 0,$$

$$\nu \left( \frac{\partial^2 v_x}{\partial x^2} + \frac{\partial^2 v_x}{\partial y^2} \right) = v_x \frac{\partial v_x}{\partial x} + v_y \frac{\partial v_x}{\partial y} + \frac{1}{\rho} \frac{\partial P}{\partial x},$$

$$\nu \left( \frac{\partial^2 v_y}{\partial x^2} + \frac{\partial^2 v_y}{\partial y^2} \right) = v_x \frac{\partial v_y}{\partial x} + v_y \frac{\partial v_y}{\partial y} + \frac{1}{\rho} \frac{\partial P}{\partial y}.$$



# Hydrodynamika, równanie Naviera-Stokesa

Pierwsze równanie opisuje równość ilości cieczy wpływającej i wypływającej. Ignorujemy zależność prędkości od składowej Z. Nasze równania mają postać:

$$\frac{\partial v_x}{\partial x} + \frac{\partial v_y}{\partial y} = 0,$$

$$\nu \left( \frac{\partial^2 v_x}{\partial x^2} + \frac{\partial^2 v_x}{\partial y^2} \right) = v_x \frac{\partial v_x}{\partial x} + v_y \frac{\partial v_x}{\partial y} + \frac{1}{\rho} \frac{\partial P}{\partial x},$$

$$\nu \left( \frac{\partial^2 v_y}{\partial x^2} + \frac{\partial^2 v_y}{\partial y^2} \right) = v_x \frac{\partial v_y}{\partial x} + v_y \frac{\partial v_y}{\partial y} + \frac{1}{\rho} \frac{\partial P}{\partial y}.$$



# Wirowość równania Naveira-Stokesa

Wprowadzamy funkcję strumienia gdzie prędkość jest zdefiniowana przez rotację

$$\mathbf{v} \stackrel{\text{def}}{=} \vec{\nabla} \times \mathbf{u}(\mathbf{x}) = \hat{e}_x \left( \frac{\partial u_z}{\partial y} - \frac{\partial u_y}{\partial z} \right) + \hat{e}_y \left( \frac{\partial u_x}{\partial z} - \frac{\partial u_z}{\partial x} \right)$$

$$u_z \equiv u \quad \Rightarrow \quad v_x = \frac{\partial u}{\partial y}, \quad v_y = -\frac{\partial u}{\partial x}.$$

Oprócz tego potrzebne nam będzie pole wirowe

$$\mathbf{w} \stackrel{\text{def}}{=} \vec{\nabla} \times \mathbf{v}(\mathbf{x}).$$



# Wirowość równania Naveira-Stokesa

Jako, że prędkość w kierunku Z się nie zmienia

$$w_z = \left( \frac{\partial v_y}{\partial x} - \frac{\partial v_x}{\partial y} \right)$$

Jest to miara tego jak bardzo prędkość cieczy rotuje(obraca się).

Linie pola są ciągłe i poruszają się tak jakby były przyczepione do cząstek cieczy.

$$\mathbf{w} = \vec{\nabla} \times \mathbf{v} = \vec{\nabla} \times (\vec{\nabla} \times \mathbf{u}) = \vec{\nabla}(\vec{\nabla} \cdot \mathbf{u}) - \nabla^2 \mathbf{u}$$



# Wirowość równania Naveira-Stokesa

Finalnie dostajemy podstawową relację pomiędzy strumieniem  $\mathbf{u}$  a wirowością  $\mathbf{w}$ :

$$\vec{\nabla}^2 \mathbf{u} = -\mathbf{w}.$$

Równanie to jest analogią do równania Poisson'a w elektrostatyce.

Po przekształceniach uzyskujemy

$$\nu \nabla^2 \mathbf{w} = [(\vec{\nabla} \times \mathbf{u}) \cdot \vec{\nabla}] \mathbf{w}.$$



# Wirowość równania Naveira-Stokesa

Pozostaje nam rozwiązać układ równań złożony z 2 ostanich tj.

$$\frac{\partial^2 u}{\partial x^2} + \frac{\partial^2 u}{\partial y^2} = -w,$$
$$\nu \left( \frac{\partial^2 w}{\partial x^2} + \frac{\partial^2 w}{\partial y^2} \right) = \frac{\partial u}{\partial y} \frac{\partial w}{\partial x} - \frac{\partial u}{\partial x} \frac{\partial w}{\partial y}.$$





# Różniczki skończone i algorytm SOR

SOR(successive over-relaxation)

Aby rozwiązać taki układ na siatce  $N_x \times N_y$  jednolitej przestrzeni  $h$  z

$$x = i\Delta x = ih, \quad i = 0, \dots, N_x, \quad y = j\Delta y = jh, \quad j = 0, \dots, N_y.$$

Strumień jest symetryczny potrzebujemy rozwiązania tylko w górnej połowie płaszczyzny

$$\frac{\partial^2 u}{\partial x^2} + \frac{\partial^2 u}{\partial y^2} \simeq \frac{u_{i+1,j} + u_{i-1,j} + u_{i,j+1} + u_{i,j-1} - 4u_{i,j}}{h^2}.$$

$$\frac{\partial u}{\partial y} \frac{\partial w}{\partial x} \simeq \frac{u_{i,j+1} - u_{i,j-1}}{2h} \frac{w_{i+1,j} - w_{i-1,j}}{2h}.$$



# Różniczki skończone i algorytm SOR

Forma różniczkowa równania wirowości Naviera-Stokesa przybiera postać:

$$u_{i,j} = \frac{1}{4} (u_{i+1,j} + u_{i-1,j} + u_{i,j+1} + u_{i,j-1} + h^2 w_{i,j}),$$
$$w_{i,j} = \frac{1}{4} (w_{i+1,j} + w_{i-1,j} + w_{i,j+1} + w_{i,j-1}) - \frac{R}{16} \{ [u_{i,j+1} - u_{i,j-1}]$$
$$\times [w_{i+1,j} - w_{i-1,j}] - [u_{i+1,j} - u_{i-1,j}] [w_{i,j+1} - w_{i,j-1}] \},$$
$$R = \frac{1}{\nu} = \frac{V_0 h}{\nu} \quad (\text{in normal units}).$$

Parametr  $R$  jest powiązany z liczbą Reynoldsa i jest miarą siły związania nieliniowych wyrazów w równaniu.



# Warunki brzegowe dla strumienia

- Przepływ swobodny

Gdy nie ma w cieczy "belki" mamy przepływ swobodny, cała ciecz posiada prędkość wlotową.

$$v_x \equiv V_0, \quad v_y = 0, \quad \Rightarrow \quad u = V_0 y, \quad w = 0.$$

Jeśli linia centralna dzieli układ wzdłuż płaszczyzny symetrii z takimi samymi przepływami i pod i nad nią dostajemy:

$$v_y = 0, \quad \Rightarrow \quad \frac{\partial u}{\partial x} = 0 \quad (\text{centerline AE}).$$



# Warunki brzegowe dla strumienia

- Linia centralna

To linia strumienia z  $u = \text{constans}$ , ponieważ nie ma składowej prędkości, która byłaby do niej prostopadła.

- Wlot

$$v_y = -\frac{\partial u}{\partial x} = 0, \quad w = 0 \quad (\text{inlet F}), \quad v_x = \frac{\partial u}{\partial y} = V_0$$



# Warunki brzegowe dla strumienia

- Powierzchnia

"Belka" jest wystarczająco zanurzona na tyle, żeby nie zakłucać przepływu na powierzchni

$$v_x = \frac{\partial u}{\partial y} = V_0, \quad w = 0 \quad (\text{surface G}).$$

- Ujście

Warunki na dnie mają bardzo mały wpływ na to co się dzieje wyżej

$$\frac{\partial u}{\partial x} = \frac{\partial w}{\partial x} = 0 \quad (\text{outlet H}).$$



# Warunki brzegowe dla strumienia

- Wokół "belki"

Ciecz "klei się" do "belki"

$$u(x, y + h) = u(x, y) + \frac{\partial u}{\partial y}(x, y)h + \frac{\partial^2 u}{\partial y^2}(x, y)\frac{h^2}{2} + \dots$$

$$w \equiv w_z = \frac{\partial v_y}{\partial x} - \frac{\partial v_x}{\partial y}.$$

$$v_x = \frac{\partial u}{\partial y} = 0 \quad (\text{beam top}).$$



# Warunki brzegowe dla strumienia

$$\frac{\partial v_y}{\partial x} = 0 \Rightarrow w = -\frac{\partial v_x}{\partial y} = -\frac{\partial^2 u}{\partial y^2}.$$

$$w \simeq -2\frac{u(x, y+h) - u(x, y)}{h^2} \Rightarrow w_{i,j} = -2\frac{u_{i,j+1} - u_{i,j}}{h^2} \quad (\text{top}).$$

$u = 0;$	$w = 0$	Centerline EA
$u = 0,$	$w_{i,j} = -2(u_{i+1,j} - u_{i,j})/h^2$	Beam back B
$u = 0,$	$w_{i,j} = -2(u_{i,j+1} - u_{i,j})/h^2$	Beam top C
$u = 0,$	$w_{i,j} = -2(u_{i-1,j} - u_{i,j})/h^2$	Beam front D
$\partial u / \partial x = 0,$	$w = 0$	Inlet F
$\partial u / \partial y = V_0,$	$w = 0$	Surface G
$\partial u / \partial x = 0,$	$\partial w / \partial x = 0$	Outlet H



# Implementacja SOR na siatkę

```
1 import matplotlib.pyplot as p
2 from mpl_toolkits.mplot3d import Axes3D
3 import numpy as np
4
5 Nxmax=70
6 Nymax=20
7 IL=10
8 H=8
9 T=8
10 h=1.
11 u=np.zeros((Nxmax+1,Nymax+1),float)
12 w=np.zeros((Nxmax+1,Nymax+1),float)
13 V0=1.0
14 omega=0.1
15 nu=1.
16 iter=0
17 R=V0*h/nu
18
19 def borders():
20     for i in range(0,Nxmax+1):
21         for j in range(0,Nymax+1):
22             w[i,j]=0.
23             u[i,j]=j*V0
24     for i in range(0,Nxmax+1):
25         u[i,Nymax]=u[i,Nymax-1]+V0*h
26         w[i,Nymax-1]=0.
27     for j in range(0,Nymax+1):
28         u[1,j]=u[0,j]
29         w[0,j]=0.
30     for i in range(0,Nymax+1):
31         if i<=IL and i>=IL+T:
32             u[i,0]=0.
33             w[i,0]=0.
34     for j in range(1,Nymax):
35         w[Nxmax,j]=w[Nxmax-1,j]
36         u[Nxmax,j]=u[Nxmax-1,j]
37
38 def beam():
39     for j in range(0,H+1):
40         w[IL,j]=-2*u[IL-1,j]/(h*h)
```



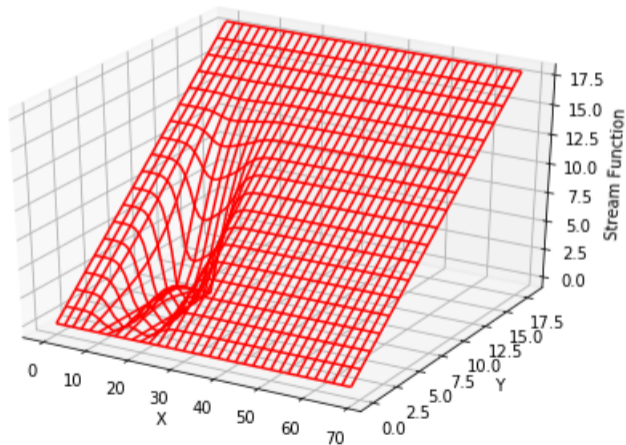


# Implementacja SOR na siatkę

```
42     for i in range(IL, IL+T+1):
43         w[i, H-1] = -2*u[i, H]/(h*h)
44     for i in range(IL, IL+T+1):
45         for j in range(0, H+1):
46             u[iL, j] = 0.
47             u[iL+T, j] = 0.
48             u[i, H] = 0
49
50 def relax():
51     beam()
52     for i in range(1, Nxmax):
53         for j in range(1, Nymax):
54             r1 = omega*(u[i+1, j] + u[i-1, j] + u[i, j+1] + u[i, j-1] + h*h*w[i, j])*0.25 - u[i, j]
55             u[i, j] += r1
56     for i in range(1, Nxmax):
57         for j in range(1, Nymax):
58             a1 = w[i+1, j] + w[i-1, j] + w[i, j+1] + w[i, j-1]
59             a2 = (u[i, j+1] - u[i, j-1])*(w[i+1, j] - w[i-1, j])
60             a3 = (u[i+1, j] - u[i-1, j])*(w[i, j+1] - w[i, j-1])
61             r2 = omega*((a1 - (R/4.))*(a2 - a3))/4.0 - w[i, j]
62             w[i, j] += r2
63 borders()
64 while(iter <= 100):
65     iter += 1
66     if iter%10 == 0:
67         print(iter)
68     relax()
69 for i in range(0, Nxmax+1):
70     for j in range(0, Nymax+1):
71         u[i, j] = u[i, j]/(V0*h)
72 x = range(0, Nxmax-1)
73 y = range(0, Nymax-1)
74 X, Y = p.meshgrid(x, y)
75
76 def functz(u):
77     z = u[X, Y]
78     return z
79
80 Z = functz(u)
81 fig = p.figure()
82 ax = Axes3D(fig)
83 ax.plot_wireframe(X, Y, Z, color='r')
84 ax.set_xlabel('X')
85 ax.set_ylabel('Y')
86 ax.set_zlabel('Stream Function')
```



# Implementacja SOR na siatkę



# Bibliografia

- Materiały dydaktyczne udostępnione przez prowadzącego: 3Solitony.pdf
- <https://en.wikipedia.org/wiki/Soliton>
- <https://www.physics.utoronto.ca/phy326/sol/sol.pdf>

